

УДК 621.372.822.001

**ОБ ОДНОМ ВАРИАНТЕ ОБОБЩЕННОГО МЕТОДА  
РАЗДЕЛЕНИЯ ПЕРЕМЕННЫХ В ЗАДАЧЕ РАССЕЯНИЯ  
НА ИДЕАЛЬНО ПРОВОДЯЩЕМ ЦИЛИНДРЕ  
С СЕЧЕНИЕМ В ВИДЕ ГОФРА\***

*B. M. Темнов, M. V. Варданашвили*

На примере задачи дифракции плоской волны на идеально проводящем гофрированном цилиндре излагается новый вариант обобщенного метода разделения переменных. Результаты расчета полей, полученные для произвольных глубин гофра и удовлетворяющие с достаточной для практики точностью как граничным условиям, так и закону сохранения энергии, иллюстрируют широкие возможности метода.

В настоящее время появилось значительное количество работ, посвященных проблеме применимости обобщенного метода разделения переменных к решению некоординатных задач прикладной электродинамики. Интерес к этой проблеме обусловлен возможностью разработки модификаций метода, отличающихся простотой алгоритмизации и эффективностью численной реализации задач рассеяния волн на гладких металлических объектах сложной формы (см., например, [1-3]). Основу используемого в них подхода составляет разложение искомого рассеянного поля по радиальным собственным волнам, удовлетворяющим условию излучения Зоммерфельда.

Наиболее простые реализации этого подхода, заключающиеся в разложении рассеянного поля в ряд по мультиполям относительно некоторого центра, произвольно выбранного внутри рассеивателя, наталкиваются на трудно преодолимые ограничения, обусловленные гипотезой Рэлея [1-6]. Пути преодоления отмеченных трудностей, предложенные в работах [7, 8] и использующие свойство полноты собственных волн на гладком контуре, приводят к алгоритмам решения поставленной задачи и в том случае, когда гипотеза Рэлея не имеет места. Однако при значительных деформациях рассеивателя, когда его поперечное сечение существенно отличается от окружности, здесь возникают численные неустойчивости.

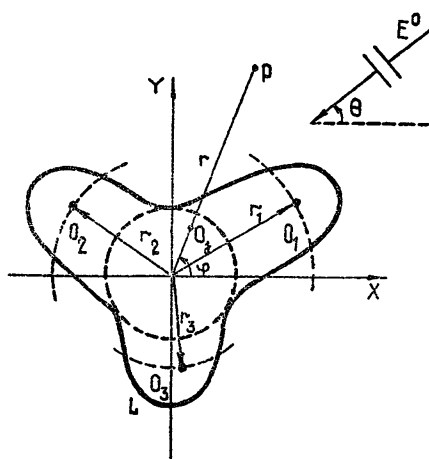


Рис. 1.

В настоящей работе в рамках метода обобщенного разделения переменных излагается новый вариант решения задачи для сильнодеформированных рассеивателей. С целью пояснения сути подхода в даль-

\* Результаты этой работы были доложены на Всесоюзной научно-технической конференции по радиоприемным устройствам. — Горький, 1985.

Нейшем рассматривается класс контуров, описываемых аналитической функцией вида  $\rho = \rho(\phi) \equiv \rho(\phi + 2\pi)$ . Прежде всего необходимо отметить, что традиционное представление для рассеянного поля, записанное относительно некоторого центра  $O$  (рис. 1), имеет вид

$$V^- = \sum_{n=-\infty}^{\infty} A_n H_n^{(1)}(kr) e^{in\phi}. \quad (1a)$$

Поскольку ряд (1a) при больших значениях индекса  $|n|$  является степенным\*, то можно заключить, что его радиус сходимости равен расстоянию от центра  $O$  до наиболее удаленной особой точки  $O_1$ , при котором этот ряд расходится [10]. Далее, для выбранного класса контуров положение особых точек однозначно определяется корнями следующего трансцендентного уравнения:

$$\rho'(\phi)/\rho(\phi) = i. \quad (2)$$

Корни этого уравнения, изученного во многих работах (см., например, [4, 5]), представляют собой точки на комплексной плоскости  $\phi$  и порождают семейство особых точек поля, расположенных внутри рассеивателя. Каждая из этих особых точек по аналогии со степенными рядами определяет радиус сходимости соответствующего ряда (1) и вносит вклад в представление (1a) согласно выражению

$$V^- = \sum_{j=1}^M \sum_{n=-\infty}^{\infty} A_{nj} H_n^{(1)}(kr) e^{in\phi}, \quad (1b)$$

где  $\sum_{j=1}^M A_{nj} = A_n$ . При этом первый ряд в (1b) ( $j=1$ ) имеет радиус сходимости  $r_1$ , второй ряд ( $j=2$ ) — радиус  $r_2$  и т. д. (рис. 1). Нумерация точек  $O_j$  выбрана с учетом выполнения неравенств  $r_1 \geq r_2 \geq r_3 \dots$ . Последний ряд в (1b) включает в себя все особые точки, расположенные внутри вписанной окружности.

Сформулируем теперь суть предлагаемого подхода. Она заключается в том, что особые точки  $O_j$  в разложении рассеянного поля выбираются в качестве центров разложения этого поля по радиальным расходящимся волнам; иными словами, вводятся несколько локальных цилиндрических систем координат с центрами в точках  $O_j$ . Ввиду отсутствия строгого теоретического обоснования эффективность подхода иллюстрируется численно на примере задачи дифракции плоской электромагнитной волны на идеально проводящем цилиндре сечением в виде гофра.

Итак, пусть на гладкий идеально проводящий бесконечный цилиндр падает под углом  $\theta$  плоская  $E$ -поляризованная волна с электрической компонентой  $E_z^0 = \exp \{-ikr \cos(\phi - \theta)\}$  ( $k$  — волновое число свободного пространства). Контур  $L$ , определяющий поперечное сечение рассеивателя (рис. 2), в цилиндрических координатах описывается уравнением

$$\rho(\phi) = a + \epsilon \sin(M\phi), \quad (3)$$

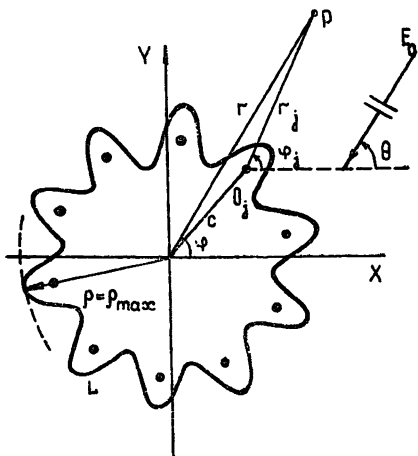


Рис. 2.

\* При  $|n| \gg 1$  ряд (1a) переходит в степенной ряд, сходящийся в окрестности бесконечно удаленной точки.

где  $M$  — число лепестков гофрированного цилиндра.  $E_z$ -компоненту рассеянного поля представим в виде следующей суперпозиции мультипольных разложений по расходящимся волнам:

$$E_z^- = \sum_{j=1}^M \sum_{n=-\infty}^{\infty} S_{jn} H_n^{(1)}(kr_j) \exp(in\varphi_j), \quad (4)$$

где  $S_{jn}$  — неизвестные коэффициенты;  $r_j$  и  $\varphi_j$  — координаты точки наблюдения  $P$  в системе координат с центром в точке  $(O_j)$  см. рис. 2). Выбор этих центров, которые, как отмечалось, совпадают с источниками рассеянного поля, сводится к определению корней уравнения (2). Для заданного уравнения (3) контура  $L$  местонахождение точек  $O_j$  по количеству совпадающих с числом лепестков цилиндра определяется достаточно просто. Они находятся внутри каждого лепестка на отрезках, соединяющих точки контура  $\rho = \rho_{\max}$  с общим центром  $O$  и на расстоянии  $c$  от него:

$$c = [a + \varepsilon/2(\eta + 1/\eta)](1/\eta)^{1/M},$$

где

$$\eta = \frac{1 + \sqrt{1 + (M^2 - 1)(\varepsilon/a)^2}}{(M - 1)(\varepsilon/a)}, \quad M = 2, 3, \dots$$

Неизвестные коэффициенты  $S_{jn}$  находятся из системы линейных алгебраических уравнений, получаемой из следующего функционального уравнения путем удовлетворения ему в ряде дискретных точек контура  $L$ :

$$\exp\{-ikr \cos(\varphi - \theta)\} + \sum_{j=1}^M \sum_{n=-N}^N S_{jn} H_n^{(1)}(kr_j) \exp(in\varphi_j) |_L = 0. \quad (5)$$

Число точек коллокации  $N_2$  в уравнении (5) выбирается из условия  $N_2 > N_1$ , где  $N_1 = M(2N+1)$  — число неизвестных коэффициентов. Точки коллокации на контуре  $L$  задаются из условия равномерного их распределения по углу  $\varphi_j$  на  $j$ -м лепестке, причем распределение точек на каждом лепестке одинаково и не зависит от его номера  $j$ . Такой выбор точек не противоречит рекомендациям работы [9]. Сходимость алгоритма устанавливалась одновременно по двум критериям: удовлетворению нулевым граничным условиям для  $E_z$ -компоненты полного поля на контуре  $L$  (критерий  $E$ ) и по выполнению закона сохранения энергии (критерий  $P$ ). Последний соответствует обращению в нуль полного потока  $\Delta_P$  вектора Пойнтинга через замкнутую поверхность, окружающую идеально проводящий рассеиватель.

Обратимся к результатам численного эксперимента. В таблице приведены данные для величин  $\Delta_E = \max_L |E_z^0 + E_z^-|$ ,  $\Delta_P$  и  $\Delta_P^{(*)}$ , иллюстрирующие зависимость погрешности выполнения соответственно  $E$ - и  $P$ -критериев от номера приближения  $N$  и от степени деформации границы рассеивателя при различном значении числа лепестков  $M$ .

Характер поведения величин  $\Delta_E$  и  $\Delta_P$  свидетельствует о быстрой сходимости приближенных решений к точному практически при любых деформациях рассеивающего цилиндра. В то же время величина  $\Delta_P^{(*)}$ , характеризующая погрешность выполнения энергетического критерия  $P$  при использовании представления Рэлея (1а) (с центром в точке  $O$ ), остается малой лишь для случаев  $\varepsilon/a = 0 \div 0,2$  и совершенно неприемлемой для  $\varepsilon/a = 0,9$ . Из табл. 1, в частности, видно, что достигаемая на основе предложенного подхода точность расчета полей как по  $E$ - , так и  $P$ -критериям вполне достаточна для практических расчетов. Например, были рассчитаны нормированные диаграммы рассеяния для возмущенных цилиндров с числом лепестков  $M = 10$  при двух значениях деформации границ  $\varepsilon/a = 0,2$  и  $\varepsilon/a = 0,9$  и при различных  $ka$  (рис. 3а, б). Результаты, изображенные на рис. 3а (при  $ka = 1$ ), совпадают с графической точностью с соответствующими результатами работы [2], полу-

ченными методом интегральных уравнений. Для случая  $\varepsilon/a = 0,9$  или близкого к нему в литературе какие-либо данные отсутствуют. Необходимо отметить, что с увеличением  $ka$  при неизменном порядке приближения  $N$  погрешности  $\Delta_E$  и  $\Delta_P$  возрастили, однако в нашем случае они не превосходили значений  $10^{-2}$  и  $10^{-3}$  соответственно.

Таблица 1

$\frac{N_1}{M}$	M	$\varepsilon/a = 0,2 (ka = 1, \theta = \pi/2)$			$\varepsilon/a = 0,909 (ka = 1, \theta = \pi/2)$		
		$\Delta_E$	$\Delta_P$	$\Delta_P^{(*)}$	$\Delta_E$	$\Delta_P$	$\Delta_P^{(*)}$
1 5 9	2	$2,1 \cdot 10^{-1}$	$3,4 \cdot 10^{-2}$	$2,2 \cdot 10^{-1}$	$4,5 \cdot 10^{-1}$	$5,3 \cdot 10^{-2}$	$7,7 \cdot 10^{-1}$
		$4,4 \cdot 10^{-3}$	$3,1 \cdot 10^{-4}$	$5,7 \cdot 10^{-4}$	$8,9 \cdot 10^{-3}$	$6,5 \cdot 10^{-4}$	$0,2 \cdot 10^1$
		$3,7 \cdot 10^{-6}$	$5,8 \cdot 10^{-7}$	$4,4 \cdot 10^{-6}$	$5,8 \cdot 10^{-5}$	$7,4 \cdot 10^{-6}$	$2,1 \cdot 10^1$
1 5 9	4	$3,5 \cdot 10^{-1}$	$8,1 \cdot 10^{-2}$	$4,3 \cdot 10^{-1}$	$5,1 \cdot 10^{-1}$	$8,8 \cdot 10^{-2}$	$\sim 10^2$
		$4,8 \cdot 10^{-3}$	$4,3 \cdot 10^{-4}$	$3,4 \cdot 10^{-3}$	$9,7 \cdot 10^{-3}$	$8,1 \cdot 10^{-4}$	
		$8,9 \cdot 10^{-6}$	$3,3 \cdot 10^{-6}$	$4,7 \cdot 10^{-3}$	$2,1 \cdot 10^{-4}$	$1,1 \cdot 10^{-5}$	
1 5 9	10	$5,6 \cdot 10^{-1}$	$8,3 \cdot 10^{-2}$	$4,7 \cdot 10^{-1}$	$6,6 \cdot 10^{-1}$	$9,3 \cdot 10^{-2}$	$> 10^2$
		$8,4 \cdot 10^{-3}$	$7,7 \cdot 10^{-4}$	$7,4 \cdot 10^{-2}$	$1,8 \cdot 10^{-2}$	$8,8 \cdot 10^{-4}$	
		$8,8 \cdot 10^{-5}$	$9,1 \cdot 10^{-6}$	$7,3 \cdot 10^{-2}$	$7,8 \cdot 10^{-3}$	$5,5 \cdot 10^{-5}$	

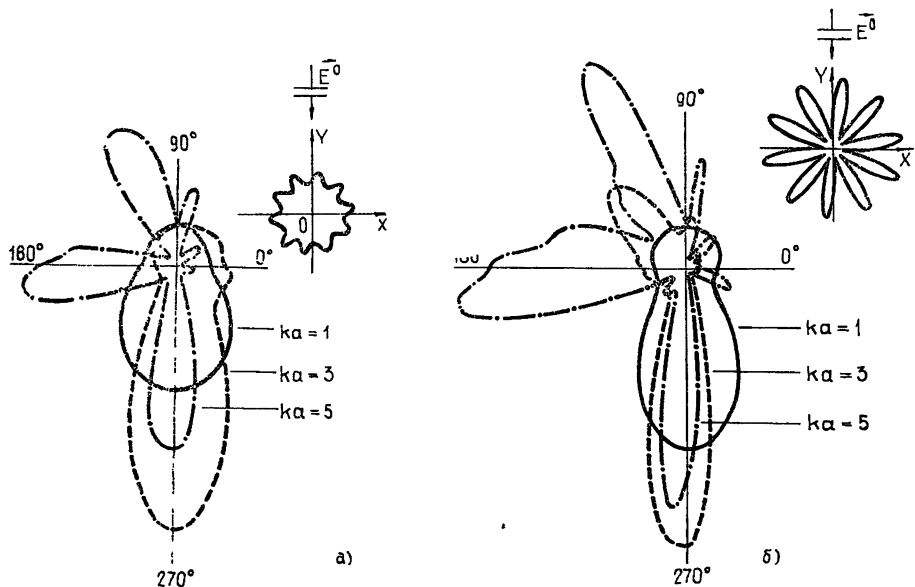


Рис. 3.

Вычисления были проведены на ЭВМ ЕС-1022, число точек коллокации во всех случаях не превышало 140. Условие  $N_2 > N_1$  с последующим обращением прямоугольной матрицы с помощью метода наименьших квадратов позволило создать быстродействующий алгоритм, устойчивый, по существу, при любых параметрах задачи. Время вычислений (с учетом временных затрат на трансляцию и редактирование программы) искомых значений полей и диаграмм рассеяния, включая процедуру проверки обоих вышеотмеченных критериев, для случая  $M=10$ ,  $N=4$ ,  $\varepsilon/a=0,9$  составило примерно 13 мин.

Предложенный в настоящей работе подход может быть применен для решения широкого класса задач дифракции волн на гладких металлических цилиндрах с произвольным поперечным сечением.

## ЛИТЕРАТУРА

1. Millar R. F. — Radio Sci., 1973, 8, № 8, 9, p. 785.
2. Bolomey J. C., Virgin A. — Proc. IEE, 1974, 121, № 8, p. 794.
3. Апельцын В. Ф., Кюркчан А. Г. — Радиотехника и электроника, 1985, 30, № 2, с. 193.
4. Hill H. R., Celli V — Phys. Rev., B, 1978, 17, № 6, p. 2478.
5. Van den Berg P. M., Fokkema J. T. — IEEE Trans., 1979, AP-27, № 5, p. 577.
6. Millar R. F. — Electron. Lett., 1969, 5, № 17, p. 416.
7. Векуа И. Н. — ДАН СССР, 1953, 90, № 5, с. 715.
8. Клеев А. И., Маненков А. В. Тезисы докладов IX Всесоюзного симпозиума по дифракции и распространению волн. — Тбилиси: Гос. ун-т, 1985, 1, с. 493.
9. Гончаров В. Л. — Изв. АН СССР, 1937, с. 171.
10. Титчмаш Е. Теория функций. — М.: Наука, 1980. — 463 с.

Московский институт  
электронной техники

Поступила в редакцию  
21 августа 1986 г.

## A VARIANCE OF GENERALIZED METHOD OF SEPARATING VARIABLES IN A SCATTERING PROBLEM FOR A PERFECTLY CONDUCTING PERTURBED CYLINDER

*V. M. Temnov, M. V. Vardanashvili*

A new variance of generalized method of separating variables is introduced as an example of a problem of a plane wave scattered by a perfectly conducting perturbed cylinder. The numerical results obtained by testing boundary conditions and energy conservation for arbitrary deformation values of scatterers, illustrate wide applicational possibilities of the proposed method.

---